

Projektowanie Efektownych Algorytmów
Projekt
23/01/2024

259113 Hubert Bełkot

(6) Genetic algorithm

Spis treści	strona
Sformułowanie zadania	2
Metoda	3
Algorytm	4
Dane testowe	5
Procedura badawcza	6
Wyniki	7
Analiza wyników	13

1. Sformułowanie Zadania

Zadanie polega na opracowaniu i zaimplementowaniu algorytmu genetycznego, rozwiązującego problem komiwojażera (eng. tsp- travelling salesman problem). Problem polega na znalezieniu w grafie minimalnego cyklu, w którym każdy wierzchołek jest odwiedzany dokładnie raz (cykl Hamiltona). Należy zbadać złożoność czasową oraz zależność zużycia pamięci w zależności od wielkości instancji.

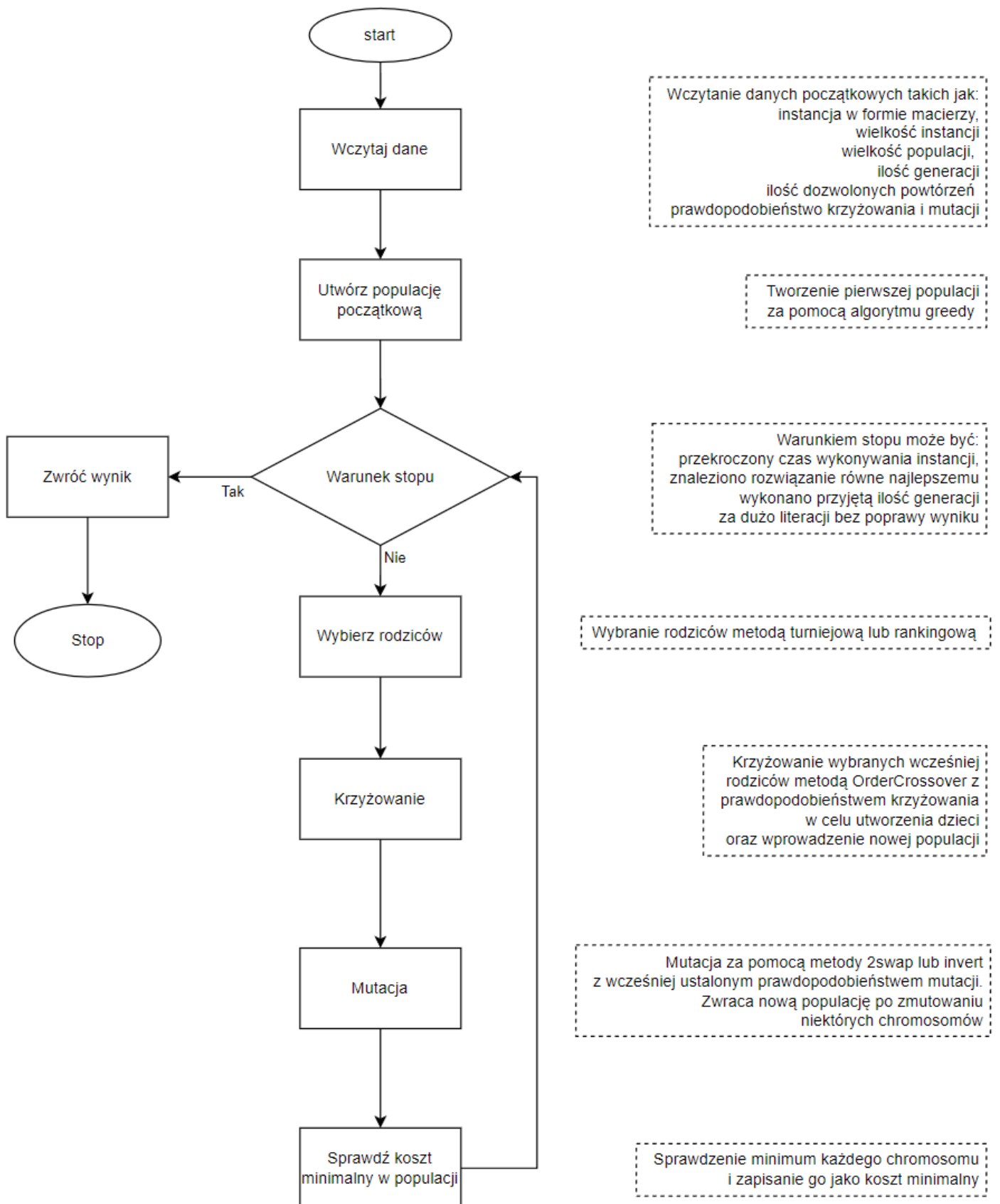
2. Metoda

Algorytm genetyczny jest jedną z metaheurystyk zainspirowana biologiczną ewolucją. Obecnie zaliczany jest do algorytmów ewolucyjnych. Algorytm genetyczny próbuje otrzymać jak najlepsze rozwiązanie za pomocą wybierania jak najlepszych cech rozwiązań z określonej puli. Zakładamy, że z każdym pokoleniem rozwiązania będą coraz lepsze. W algorytmie dla przypadku rozwiązania problemu komiwojażera, pokoleniem nazywamy populację chromosomów w danej iteracji. Pojedynczy chromosom jest pojedynczym cyklem Hamiltona, natomiast populacja zbiorem chromosomów o zadanej liczebności.

Na algorytm genetyczny składają się operacje:

- Tworzenie populacji początkowej – random polega na losowym wybraniu losowej pierwszej ścieżki.
- Selekcja – Metoda turniejowa / rankingowa. Metoda turniejowa polega na wylosowaniu pary osobników z której lepsza zostaje wybrana do krzyżowania. Metoda rankingowa polega na wybraniu najlepszych osobników.
- Krzyżowanie – budowanie potomstwa poprzez kopiowanie części rozwiązania z jednego rodzica, a następnie uzupełnianie brakujących liczb poprzez wstawianie w takiej kolejności, w jakiej występowały w drugim rodzicu.
- Mutacja – operacja 2-swap/invert. Mutacja ma za zadanie dokonać losowej zmiany na którymś z osobników. Do tego zostaje wykorzystana metoda 2-swap, czyli wylosowanie dwóch wierzchołków i zamiana ich, oraz metoda invert, która wybiera dwa wierzchołki i odwraca kolejnością dany odcinek ścieżki.
- Sukcesja (stworzenie nowej populacji) –metoda rankingowa. Wybranie najlepszych osobników z otrzymanych chromosomów i zastąpienie nimi nowej populacji
- Warunek stopu – liczba generacji / liczba iteracji bez poprawy wyniku / osiągnięcie pewnego błędu / przekroczenie czasu.

3. Algorytm



Rysunek 1: Schemat działania algorytmu genetycznego

4. Dane testowe

Do sprawdzenia poprawności algorytmu posłużyły następujące zestawy danych:

- tsp_6_2.txt
- tsp_10.txt
- tsp_15.txt
- gr21.tsp.txt

Do wykonania pomiarów wykorzystano:

- tsp_6_2.txt
- tsp_10.txt
- tsp_15.txt
- gr21.tsp.txt
- gr24.tsp.txt
- ftv38.atasp
- ftv64.atasp
- ftv170.atasp
- gr229.txt
- rbg323.atasp
- pcb442.tsp.txt
- rbg443.atasp
- tsp666.tsp.txt

Ze źródeł:

- <http://jaroslaw.mierzwa.staff.iiar.pwr.wroc.pl/pea-stud/tsp/>
- Teaching (uni-heidelberg.de)

5. Procedura badawcza

Należało zbadać zależność czasu rozwiązania problemu od wielkości instancji, czyli złożoność czasową oraz zużycie pamięci od wielkości instancji (złożoność pamięciową). Na początku procedury badawczej uruchamialiśmy plik ini (format_pliku: nazwa_instancji liczba_wykonań rozwiązanie optymalne [ścieżka_optymalna] nazwa_pliku.csv).

Treść pliku tsp.ini:

```
tsp_6_2.txt 5 80 [0 5 1 2 3 4 0]
tsp_10.txt 5 212 [0 3 4 2 8 7 6 9 1 5 0]
tsp_15.txt 5 291 [0 10 3 5 7 9 13 11 2 6 4 8 14 1 12 0]
gr21.tsp.txt 5 2707 [0 6 7 5 15 4 8 2 1 20 14 13 12 17 9 16 18 19 10 3 11 0]
gr24.tsp.txt 5 1272 [ ? ]
ftv38.atasp 5 1530 [ ? ]
ftv64.atasp 5 1839 [ ? ]
ftv170.atasp 5 2755 [ ? ]
gr229.txt 5 134602 [ ? ]
rbg323.atasp 5 1326 [ ? ]
pcb442.tsp.txt 5 50778 [ ? ]
rbg443.atasp 5 2720 [ ? ] tsp666.tsp.txt 5 194358 [ ? ]
tsp666.tsp.txt 5 194358 [ ? ]
```

output.csv

Przy próbie zbadania instancji pr1002, nie udało mi się otrzymać kosztu poniżej błędu procentowego 150% w czasie poniżej 10 minut, dlatego zrezygnowałem z badania tej instancji.

Każda instancja rozwiązywana była zgodnie z przyjętą liczbą jej wykonań, dla przykładu gr21.tsp.txt została wykonana 5 razy. Do pliku wyjściowego był zapisywany: jako nagłówek, dane odczytywane z pliku .init dla konkretnej instancji, pod spodem czas wykonania [ms], znalezione optymalne rozwiązanie oraz ścieżka. Poniżej fragment pliku wyjściowego zapisanego w formacie .csv dla gr21.tsp.tx:

gr21.tsp.txt	5	2707	[0 6 7 5 15 4 8 2 1 20 14 13 12 17 9 16 18 19 10 3 11 0]
144,2261	2707	[0 6 7 5 15 4 8 2 1 20 14 13 12 17 9 16 18 19 10 3 11 0]	
72,8875	2707	[0 11 3 10 19 18 16 9 17 12 13 14 20 1 2 8 4 15 5 7 6 0]	
155,9816	2707	[0 6 7 5 15 4 8 2 1 20 14 13 12 17 9 16 18 19 10 3 11 0]	
160,4757	2707	[0 6 7 5 15 4 8 2 1 20 14 13 12 17 9 16 18 19 10 3 11 0]	
137,0401	2707	[0 6 7 5 15 4 8 2 1 20 14 13 12 17 9 16 18 19 10 3 11 0]	

Tabela 1: wyniki dla instancji wielkości 21 wykonane przy badaniu poprawności algorytmu

- Obliczanie błędu dla instancji:

$$\delta = \frac{|x - x_0|}{x} \cdot 100\%$$

Gdzie x jest optymalnym kosztem, a x_0 średnim kosztem zmierzonej instancji.

6. Wyniki

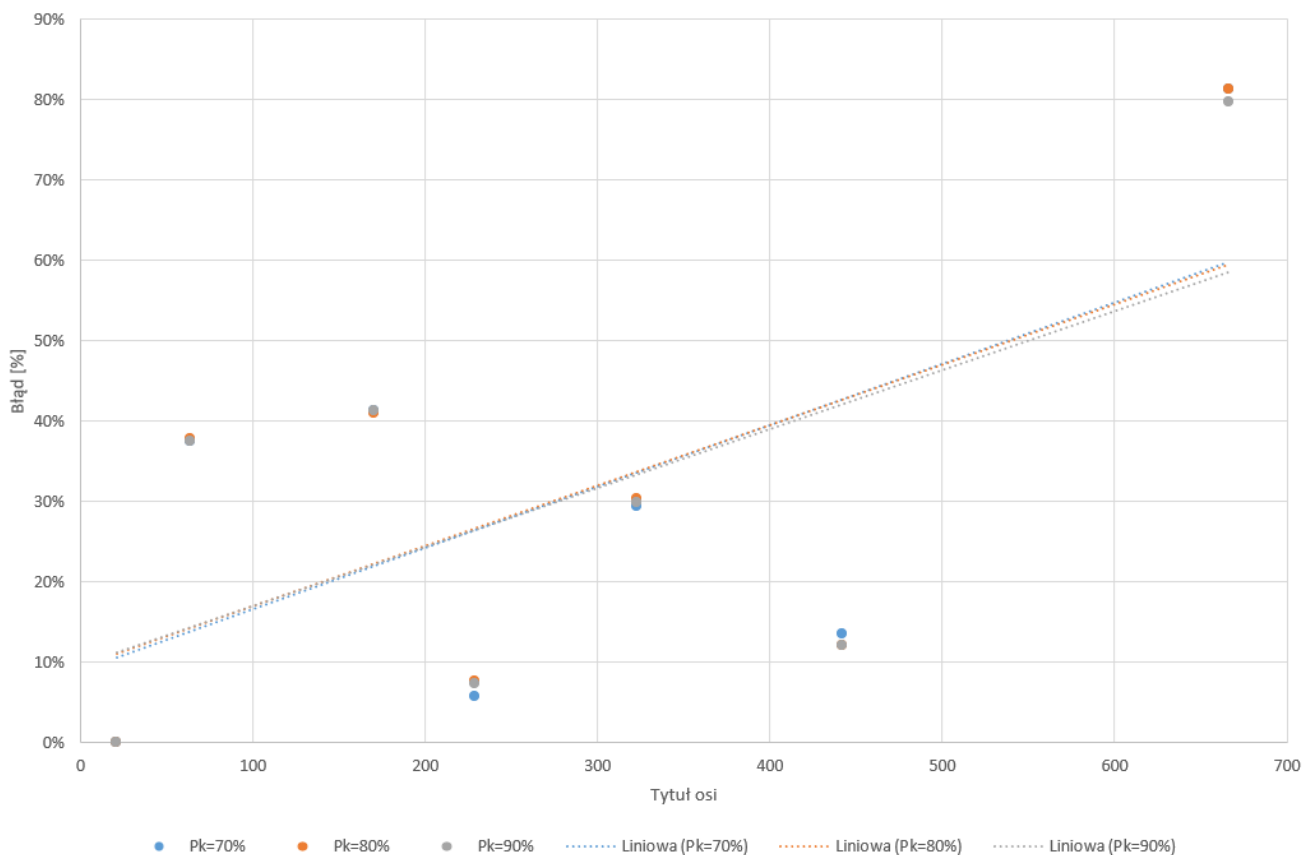
Parametry dla badań początkowych algorytmu:

- Prawdopodobieństwo krzyżowania = 90%
- Prawdopodobieństwo mutacji = 5%
- Wielkość populacji = 1000
- Liczba generacji = 1000
- Dozwolonych powtórzeń = 150
- Populacja początkowa – algorytm Greedy
- Metoda mutacji - Invert

• Badanie wpływu wielkości prawdopodobieństwa krzyżowania

instancja	koszt optymalny	Pk=70%			Pk=80%			Pk=90%		
		średni koszt	błąd[%]	czas [ms]	średni koszt	błąd[%]	czas [ms]	średnie	błąd[%]	czas [ms]
21	2707	2707	0%	140	2707	0%	135	2707	0%	265
64	1839	2530	38%	406	2534	38%	422	2531	38%	770
170	2755	3894	41%	2425	3887	41%	2148	3894	41%	2674
229	134602	142394	6%	6836	144928	8%	7611	144484	7%	8492
323	1326	1716	29%	10014	1729	30%	9849	1723	30%	11046
442	50778	57690	14%	22843	56920	12%	24560	56933	12%	26635
666	194358	352409	81%	57013	352543	81%	58440	349501	80%	61987

Tabela 2: Wyniki badania dla zmiany wielkości prawdopodobieństwa krzyżowania



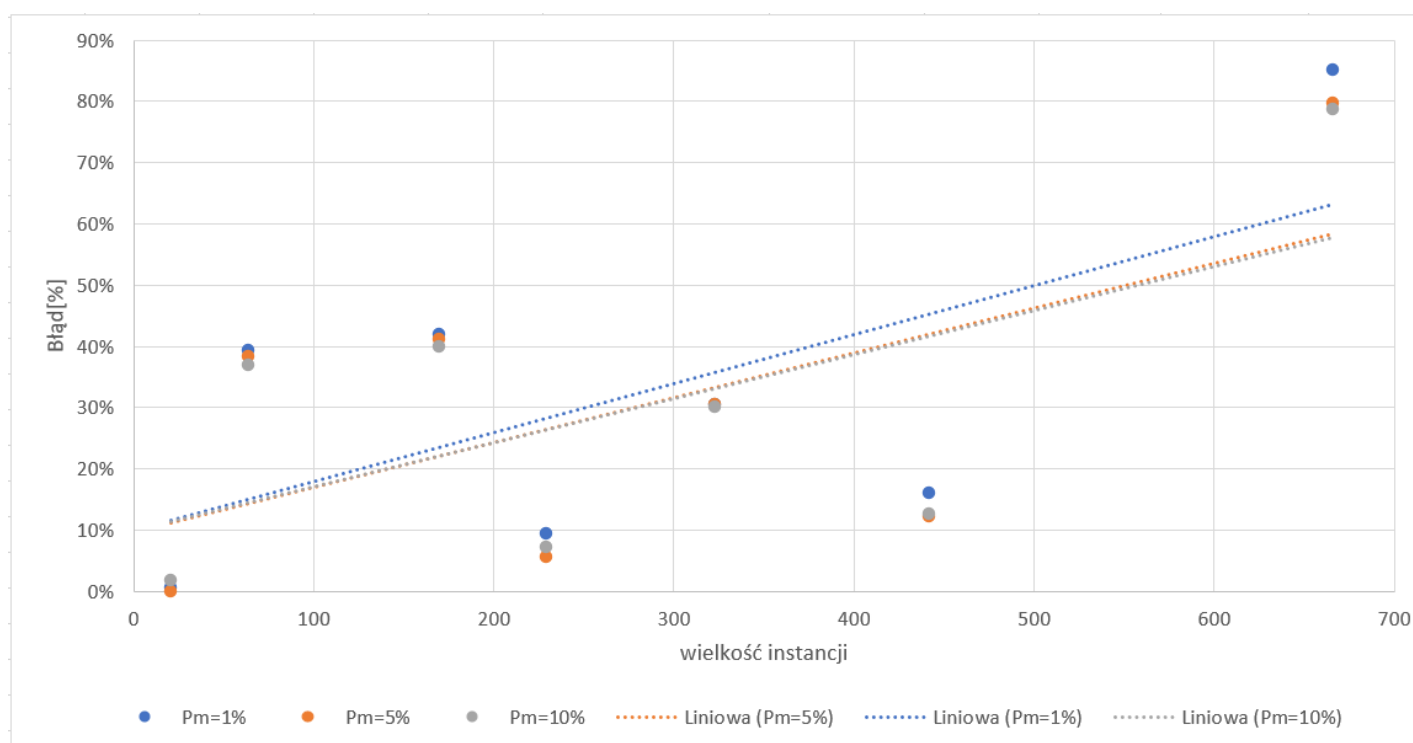
Rysunek 2: Wykres błędów procentowych w zależności od wielkości prawdopodobieństwa krzyżowania

Jak widać na powyższym rysunku oraz *tabeli 2*, średni błąd jest najmniejszy dla prawdopodobieństwa krzyżowania równego 90%, z tego względu je wybieramy do następnych testów.

- Badanie wpływu zmiany wielkości prawdopodobieństwa mutacji

instancja	koszt optymalny	Pm=1%			Pm=5%			Pm=10%		
		średni koszt	błąd[%]	czas [ms]	średni koszt	błąd[%]	czas [ms]	średni koszt	błąd[%]	czas [ms]
21	2707	2725	1%	193	2707	0%	125,42	2753	2%	669
64	1839	2562	39%	661	2545	38%	1015,75	2516	37%	1087
170	2755	3909	42%	1688	3887	41%	3616,63	3856	40%	4259
229	134602	147190	9%	7719	142218	6%	8573,55	144244	7%	8703
323	1326	1731	31%	9924	1731	31%	11780,03	1726	30%	13133
442	50778	58891	16%	25299	57021	12%	26877,90	57170	13%	26782
666	194358	359926	85%	62389	349343	80%	63491,35	347193	79%	63357

Tabela 3: Wyniki badania zmiany wielkości prawdopodobieństwa mutacji



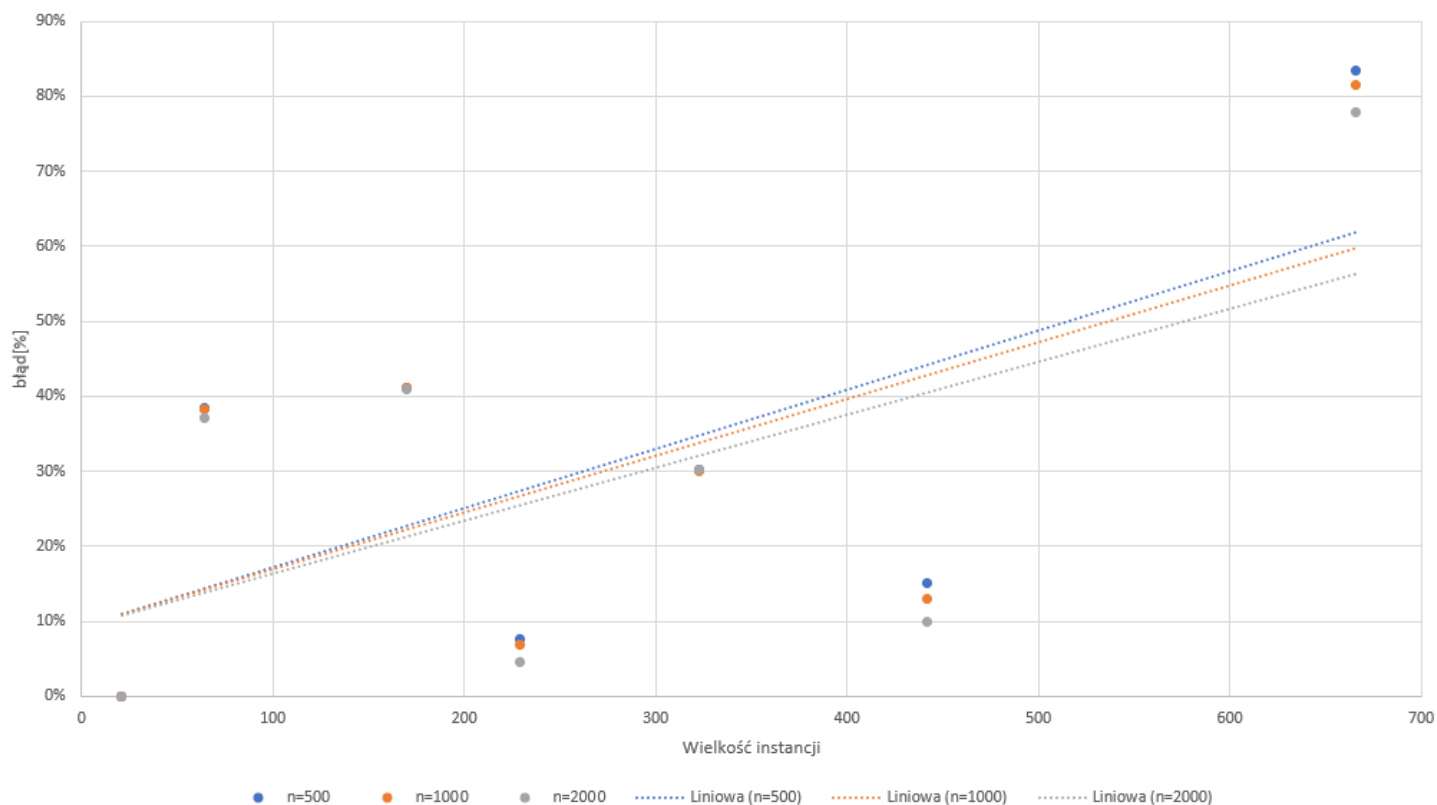
Rysunek 3: Wykres błędów procentowych w zależności od wielkości prawdopodobieństwa mutacji.

Patrząc na *tabelę 3* musimy wybrać prawdopodobieństwo mutacji równe 5% ze względu na warunek zadania, który mówi o zerowej wartości błędów dla instancji do wielkości 21.

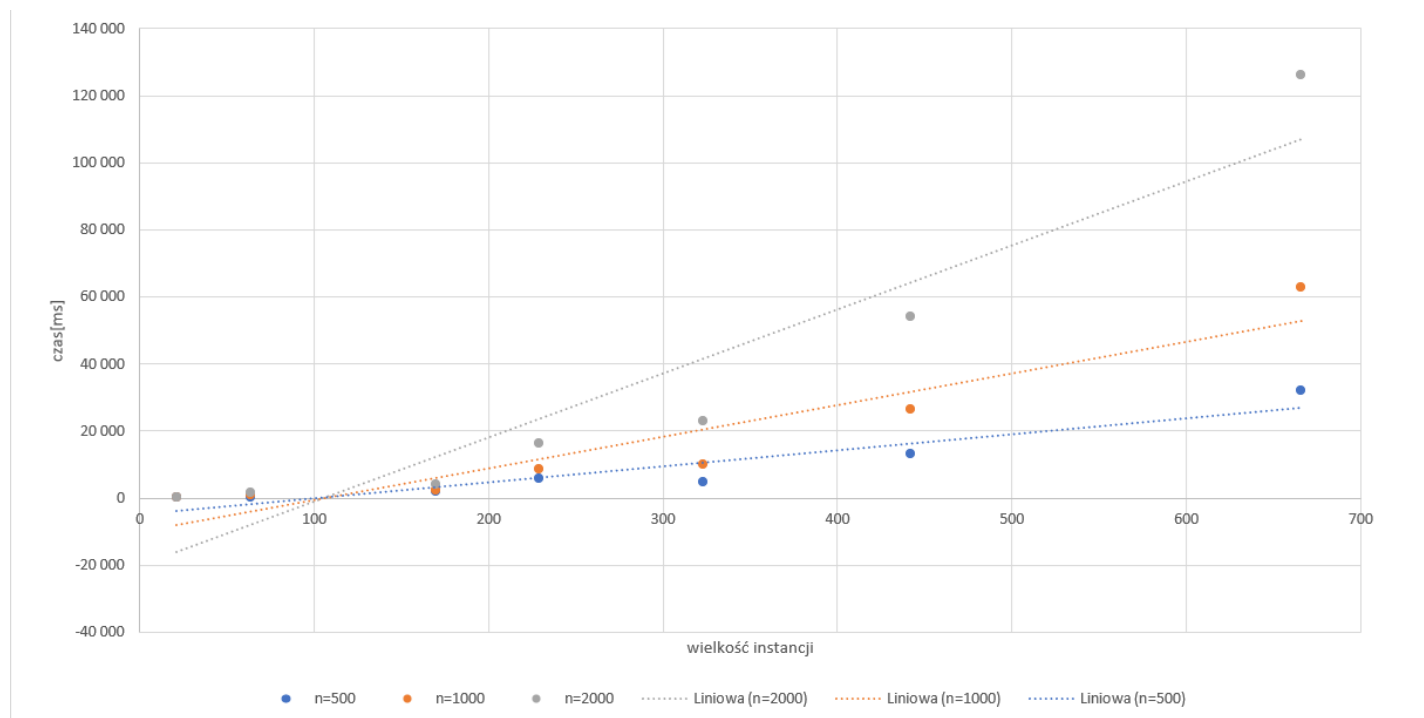
- Badanie wpływu wielkości populacji – n,

instancja	koszt optymalny	n=500			n=1000			n=2000		
		średni koszt	błąd[%]	czas [ms]	średni koszt	błąd[%]	czas [ms]	średni koszt	błąd[%]	czas [ms]
21	2707	2707	0%	114	2707	0%	176	2707	0%	292
64	1839	2547	39%	220	2541	38%	715	2522	37%	1632
170	2755	3887	41%	2011	3887	41%	2402	3883	41%	4102
229	134602	144957	8%	5616	143889	7%	8558	140711	5%	16334
323	1326	1727	30%	4608	1724	30%	9995	1727	30%	22800
442	50778	58418	15%	13214	57413	13%	26536	55850	10%	54215
666	194358	356488	83%	32020	352920	82%	62973	345863	78%	126196

Tabela 4: Wyniki badania zmiany wielkości populacji



Wykres 4: wykres zależności błędu procentowego od wielkości populacji



Wykres 5: Wykres zależności czasu wykonywania algorytmu od wielkości populacji.

Analizując wyniki pokazane na *wykres 4* oraz *tabela 4*, widzimy, że najmniejsza wartość błędu procentowego jest po stronie populacji równej 2000. Niestety ze względu na bardzo dużą różnicę czasów wykonywania się algorytmu, pokazanych na *wykresie 5*, w następnych badaniach postanowiłem przyjąć wielkość populacji równą 500, której wyniki czasowe są bardzo korzystne a błąd procentowy nie ulega bardzo dużej zmianie.

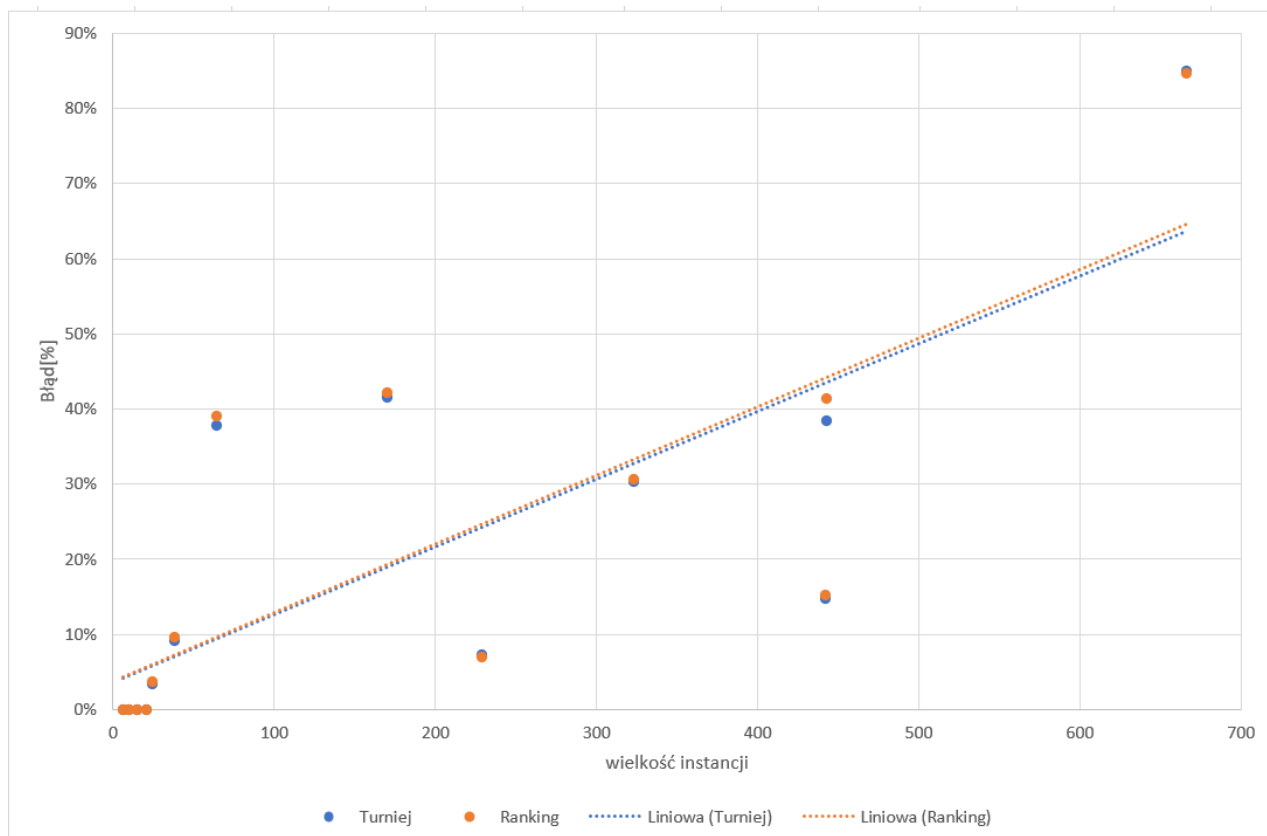
- Badanie wpływu metody selekcji na czas i jakość wykonywania algorytmu.

Parametry dla algorytmu zmieniono na :

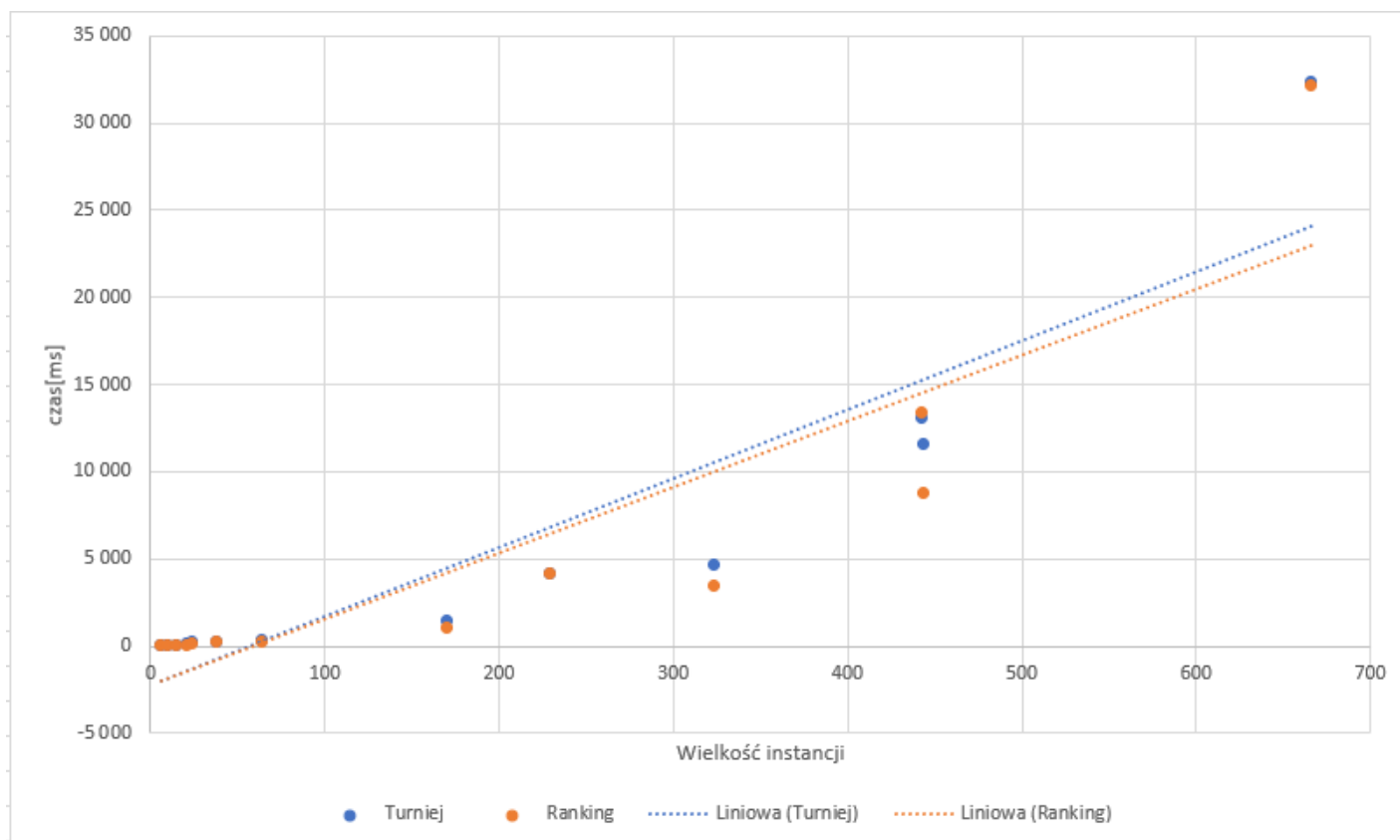
- Prawdopodobieństwo krzyżowania = 90%
- Prawdopodobieństwo mutacji = 5%
- Wielkość populacji = 500
- Liczba generacji = 1000
- Dozwolonych powtórzeń = 150
- Populacja początkowa – algorytm Greedy
- Metoda mutacji - Invert

instancja	koszt optymalny	Turniej			Ranking		
		średni koszt	błąd[%]	czas [ms]	średni koszt	błąd[%]	czas [ms]
6	80	80	0%	5	80	0%	9
10	212	212	0%	7	212	0%	25
15	291	291	0%	4	291	0%	16
21	2707	2707	0%	111	2707	0%	65
24	1272	1315	3%	236	1319	4%	142
38	1530	1670	9%	234	1678	10%	206
64	1839	2535	38%	379	2557	39%	264
170	2755	3901	42%	1484	3915	42%	1033
229	134602	144391	7%	4177	143961	7%	4123
323	1326	1728	30%	4641	1732	31%	3456
442	50778	58244	15%	13079	58537	15%	13447
443	2720	3765	38%	11607	3848	41%	8739
666	194358	359553	85%	32354	358925	85%	32146

Tabela 5: Wyniki badania wpływu metody selekcji na czas i jakość wykonania algorytmu



Wykres 6: Wykres zależności błędu rozwiązania od wielkości instancji porównująca metody selekcji



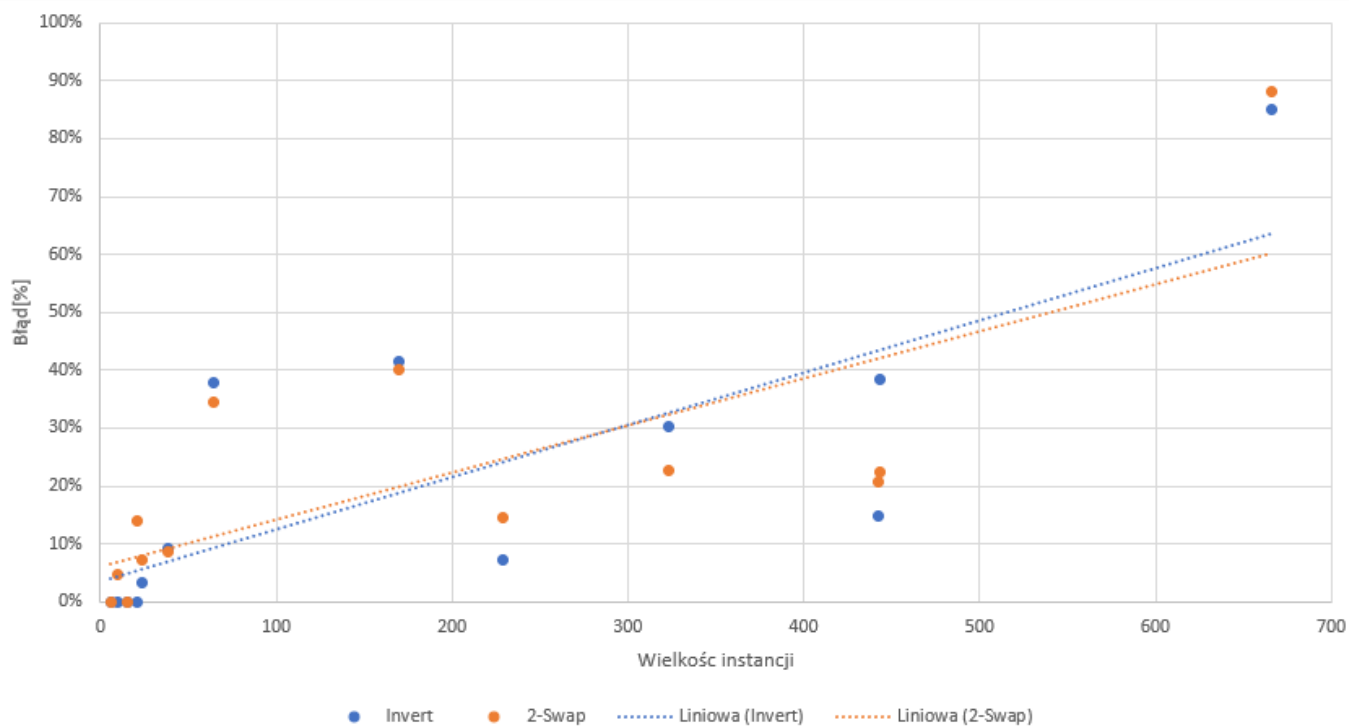
Wykres 7: Wykres zależności czasu wykonywania algorytmu od wielkości instancji porównująca metody selekcji

Zostały zbadane dwie metody selekcji: turniejowa oraz rankingowa. Na wykresie 6 i wykresie 7, można zobaczyć kolejno, porównanie tych metod pod względem wielkości błędu oraz czasu wykonywania algorytmu. Analizując wcześniej wymienione wykresy oraz tabelę 5, można dojść do wniosku, że obie metody zwracają podobne wyniki, jednak linie trendu metody turniejowej pokazują tendencje do uzyskiwania wyniku z mniejszym błędem, kosztem czasu wykonywania algorytmu.

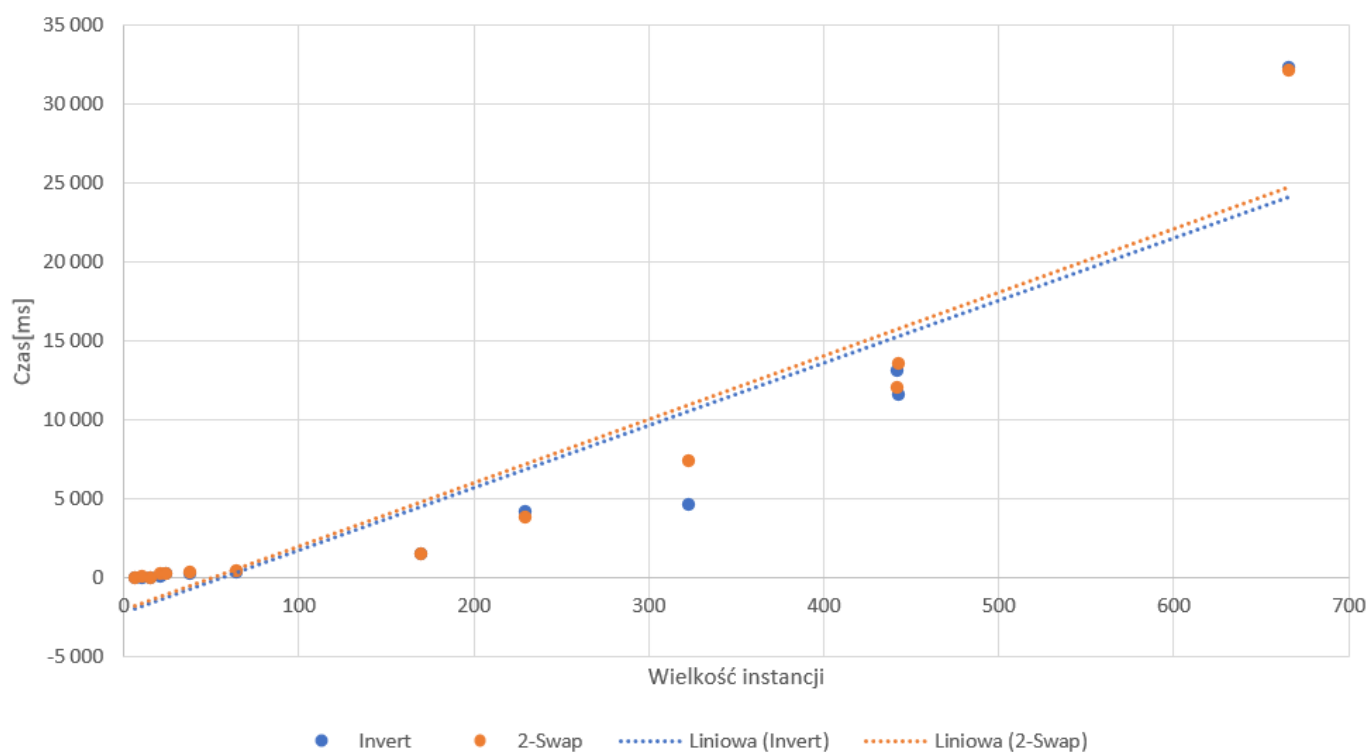
- Badanie wpływu metody mutacji na czas i jakość wykonywania algorytmu

instancja	koszt optymalny	Invert			2-Swap		
		średni koszt	błąd[%]	czas [ms]	średni koszt	błąd[%]	czas [ms]
6	80	80	0%	5	80	0%	5
10	212	212	0%	7	222	5%	97
15	291	291	0%	4	291	0%	7
21	2707	2707	0%	111	3086	14%	286
24	1272	1315	3%	236	1364	7%	216
38	1530	1670	9%	234	1662	9%	294
64	1839	2535	38%	379	2474	35%	403
170	2755	3901	42%	1484	3860	40%	1459
229	134602	144391	7%	4177	154001	14%	3823
323	1326	1728	30%	4641	1625	23%	7424
442	50778	58244	15%	13079	61299	21%	12001
443	2720	3765	38%	11607	3330	22%	13544
666	194358	359553	85%	32354	365794	88%	32152

Tabela 7: Wyniki badania dla wpływu metody mutacji



Wykres 8: Wykres zależności błędu od wielkości instancji dla różnych metod mutacji



Wykres 9: Wykres zależności czasu wykonywania algorytmu dla różnych metod mutacji

Jak można zauważyć analizując *wykres 8* oraz *wykres 9*, metoda mutacji Invert jest szybsza i lepsza jeśli chodzi o jakość rozwiązania. Linie trendu wskazują jej przewagę nad metodą 2-swap, która widocznie odstaje.

7. Analiza wyników

Finałowe badanie:

Przetestowano po 10 razy każdą instancję, aby porównać ją z algorytmem symulowanego wyżarzania. Plik .INI wygląda dla tego badania następująco:

```
gr17.tsp.txt 10 2085 [ ? ]
gr21.tsp.txt 10 2707 [ 0 6 7 5 15 4 8 2 1 20 14 13 12 17 9 16 18 19 10 3 11 0 ]
gr24.tsp.txt 10 1272 [ ? ]
ftv33.atsp 10 1286 [ ? ]
ftv44.atsp 10 1613 [ ? ]
ftv55.atsp 10 1608 [ ? ]
ftv70.atsp 10 2755 [ ? ]
gr96.txt 10 55209 [ ? ]
ftv170.atsp 10 2755 [ ? ]
gr229.txt 10 134602 [ ? ]
rbg323.atsp 10 1326 [ ? ]
pcb442.tsp.txt 10 50778 [ ? ]
rbg443.atsp 10 2720 [ ? ]
tsp666.tsp.txt 10 194358 [ ? ]
```

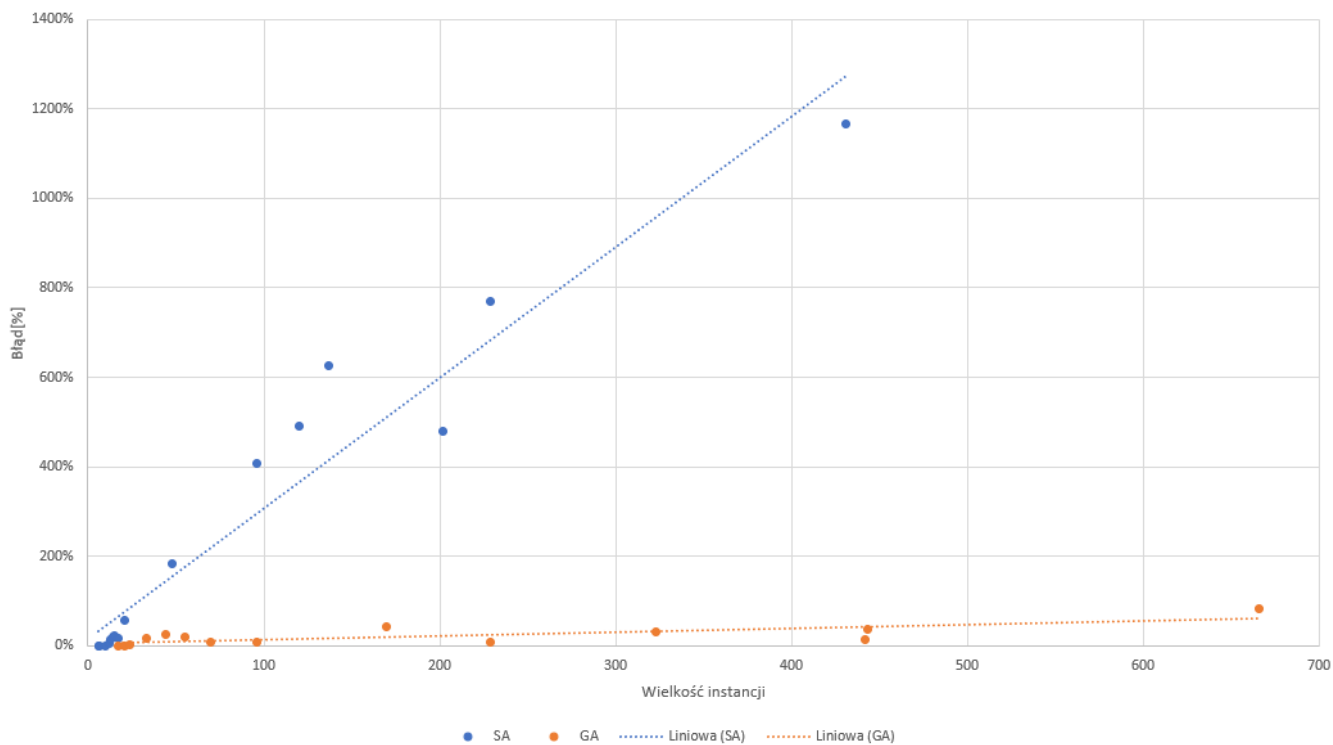
outputFinal.csv

Parametry dla algorytmu genetycznego zmienione dla :

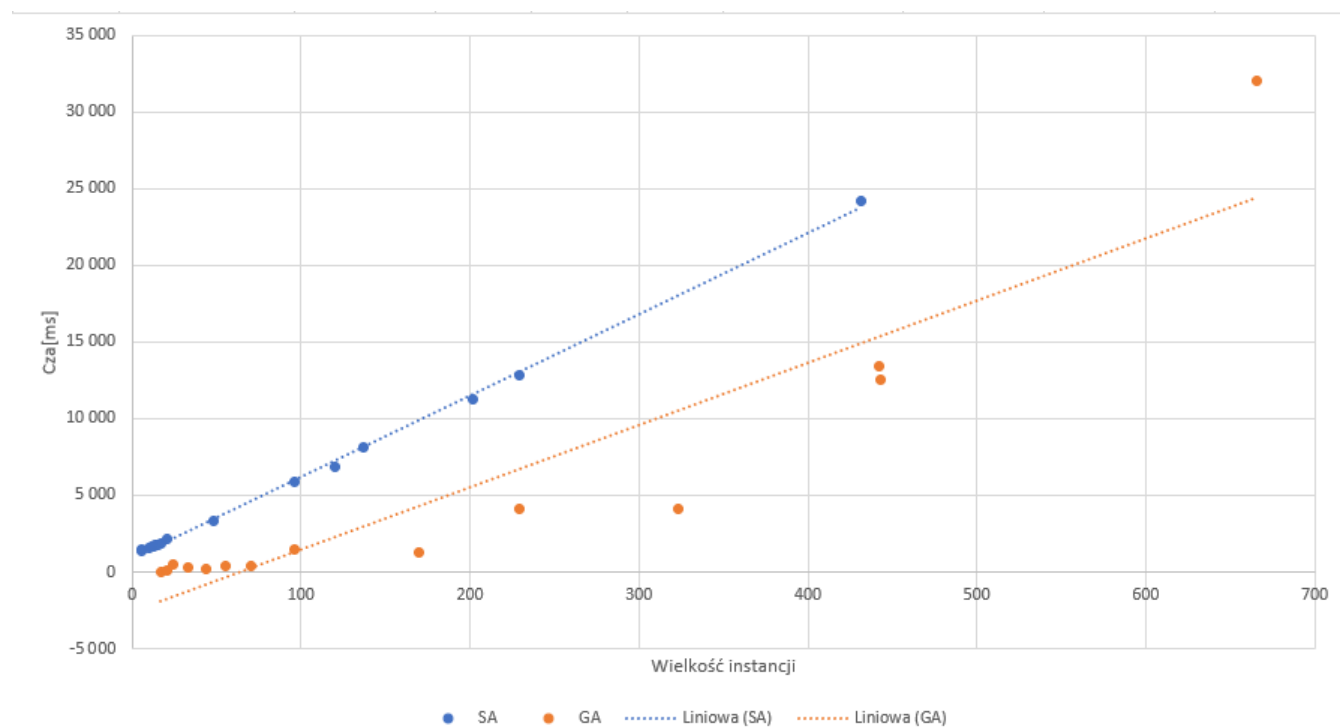
- Prawdopodobieństwo krzyżowania = 90%
- Prawdopodobieństwo mutacji = 5%
- Wielkość populacji = 500
- Liczba generacji = 1000
- Dozwolonych powtórzeń = 150
- Populacja początkowa – algorytm Greedy
- Metoda wyboru selekcji - Invert

Symulowane wyżarzanie					Algorytm Genetyczny				
instancja	koszt optymalny	średni koszt	błąd[%]	czas[ms]	instancja	koszt optymalny	średni koszt	błąd[%]	czas[ms]
6	132	132	0%	1352	17	2085	2085	0%	12
6	80	80	0%	1497	21	2707	2707	0%	100
10	212	212	0%	1541	24	1272	1309	3%	443
12	264	277	5%	1661	33	1286	1504	17%	273
13	269	307	14%	1684	44	1613	1999	24%	208
14	282	340	21%	1724	55	1608	1941	21%	345
15	291	360	24%	1735	70	2755	2505	9%	350
17	2085	2452	18%	1901	96	55209	59181	7%	1433
21	2707	4281	58%	2136	170	2755	3905	42%	1254
48	5046	14302	183%	3290	229	134602	145489	8%	4153
96	55209	280709	408%	5832	323	1326	1728	30%	4121
120	6942	40987	490%	6850	442	50778	58385	15%	13381
137	69853	506391	625%	8087	443	2720	3728	37%	12566
202	40160	232270	478%	11271	666	194358	354291	82%	32030
229	134602	1170554	770%	12803					
431	171414	2172139	1167%	24157					

Tabela 8: Porównanie czasu wykonania i jakości rozwiązania algorytmów symulowanego wyżarzania oraz algorytmu genetycznego



Wykres 10: porównanie błędów procentowych dla algorytmów: symulowanego wyżarzania i algorytmu genetycznego



Wykres 11: porównanie czasu wykonywania algorytmów: symulowanego wyżarzania i algorytmu genetycznego

Po wszystkich przeprowadzonych badaniach, możemy stwierdzić, że algorytm genetyczny pozwala osiągnąć wyniki trudno osiągalne dla innych algorytmów. Porównując go z algorytmem symulowanego wyżarzania, jasno widzimy, że jakość wykonania, a także czas wykonywania algorytmu, jest dużo lepszy. W przypadku pracy z dużymi instancjami, ta różnica jest wyjątkowo widoczna, pokazują nam to *wykres 11* oraz *wykres 12*. Z tego wynika, że można go wykorzystać właśnie przy pracy z takimi instancjami. Oczywiście, nie są to dokładne wyniki ale dzięki odpowiedniemu dostosowywaniu parametrów, możemy uzyskać znacząco lepsze rezultaty niż w przypadku innych algorytmów.